

C
212.
2017

(EN 13201-5:2015, NEQ)



2017

212—2017

1 . . . « . . . » (. . . « . . . »)
2 . . . 332 « . . . »
3 22 . . . 2017 . . . 13-
4 . . . 13201-5:2015 « . . . 5. . . »
(EN13201 -5:2015 «Road lighting — Part 5: Energy performance indicators». NEQ).

1.16—2011 (. . . 5 . .).

, . . . 4 . . .
607.129626 (E-mail: ntn@vnisi.ru) / . . . 1- . . . 6. . . 2.
; 109074 . . . , . . . 7. . . 1.
« . . . »
(www.gost.ru)

© .2017

212—2017

13201 -5:2015

- 1 « »;
 - ; « » « »;
 - , 3.1.5
 - ; 4.2, *
 - 5 « » , ;
 - .3.2 ;
 - .3.3— .3.7, ; *
 - ;
 - DEH 13201*5:2015. *
- ()

55706

in

212—2017

Road lighting. Energy performance indicators

— 2017—12—01
2020—12—01

1

()

2

55706
55708—2013

56228

« »
« » 1
().

1

212—2017

3

3.1

56228.

3.1.1

55706

3.1.2
/(ρ^2): D_p ,

3.1.3

 σ_F .

3.1.4

),

().

3.1.5

3.2

4

4.1

 $i \left(\sum_{i=1}^n A_i \right)$

Op —

— (. 4.3);

, — 4.2;

, — /.

(,),

4.2

8

)

7.2.7

55708—2013:

)

55708.

4.3

,

,

,

,

,

,

,

,

,

,

,

,

,

,

,

,

,

,

,

,

,

,

,

(

-1

(

(2)

/

).;

(

),

,;

100 %-

(

,

),

55708.

212—2017

4.4

55706 55708.

5

$$\overset{m}{\Pr} V \quad (3)$$

$$\begin{aligned}
 D_e = & \frac{\rho}{2} \left(\frac{1}{r_1^2} + \frac{1}{r_2^2} + \dots + \frac{1}{r_n^2} \right) \\
 & - \frac{1}{2} \left(\frac{1}{r_1^2} + \frac{1}{r_2^2} + \dots + \frac{1}{r_n^2} \right)^2
 \end{aligned}$$

()

.1

.1.1

(1).
65706

1
2

.1.2

.1.



— ; —

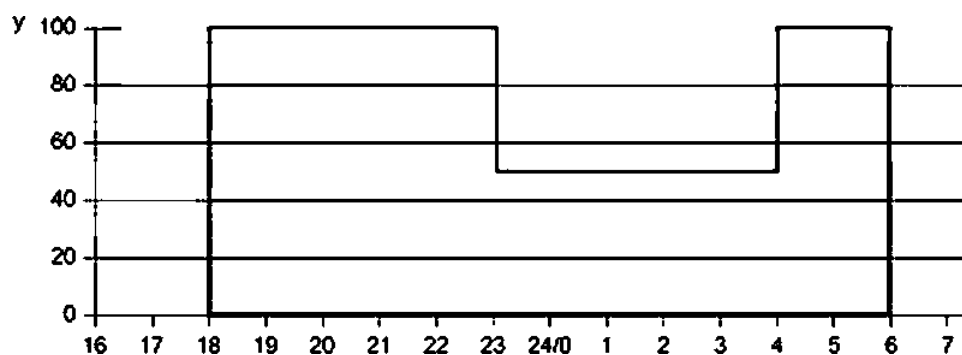
.1 —

.1.3

(.2)

, 55706.

212—2017

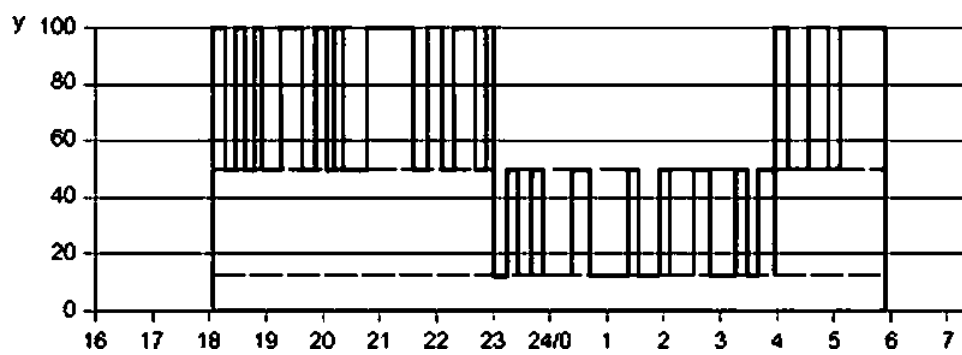


— , : —

.2 —

.1.4

/



— , : —

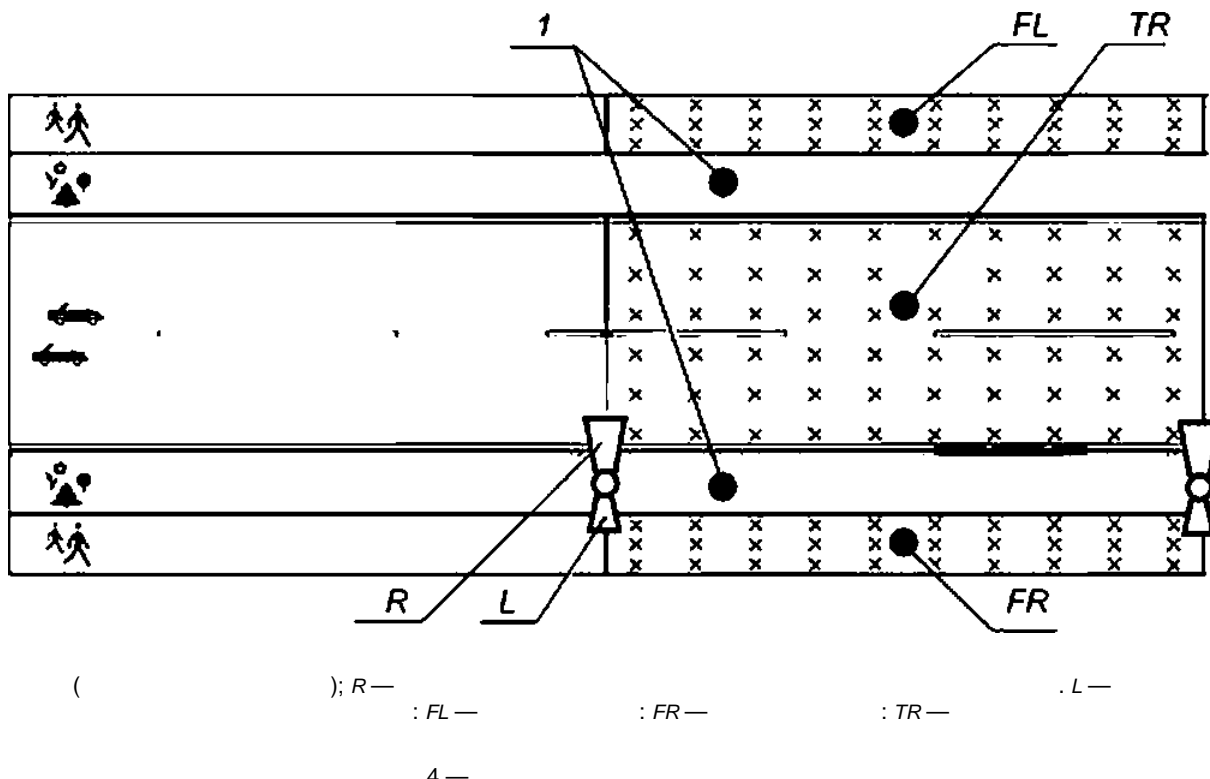
—

.2

(4 5)

.4.

55708.



55708.

{1.3)

(. . . .4) (1) (3) 4 -

$$\frac{+}{Efl_{af} * Er_{ar} rEf_{tf} Afn} \quad (A.1)$$

$$\frac{+}{Aei * * af_r} \quad (A.2)$$

P_R —
 P_F —
 A_r — , 3;
 A_{fl} — , 3;
 A_{fr} — , 2;
 E_{fl}, E_{fr} —

—
 —
 $f_{cy''}$ —
 (.2)

. 8 ; . 8 :
 , ; , ;

212—2017

.3.1

()—2 : — 0.6;

• — [2.);
 • 5 12 — :
 • 20 60 1
 • — 0 2 0.5 ;
 • — 4000 .

(). () ()

.3.2

.2.

1

55706		* "1			
1	7	25—32	45	34—41	—
2	10	25—27	42	31—32	85
	8	27	42	30—33	83
	7	23—25	47	34—38	84
	6	25—28	S1	40—44	103
1	7	23	60	34—42	90

2

55706					
1	7	3.0—3.8	5.0	4.0—5.3	—

.2

55706		*2			
62	10	1.6 1.6	3.4 3.4	2.3 2.2—2.4	6.0 6.0
	7	1.5	3.6	2.5—2.6	6.0
	6	1.6	3.9	2.7—2.8	7.0
81	7	1.1	3.1	1.8—2.4	5.0

.3.3

.3.2

{ . . . 1.2)

4000

() ,

,

:

4000 ;

:

217S

0.7

,

50 %.

1825 ;

:

,

0.6

80 X

2175 :

,

0.6

0.2 .

20 %

1875 .

—

 C_{avp}

»	. %
	100.0
	86.3
	62.8

212—2017

()

.1.

.1— .4.

8.1 —

	1	2		4	S
.					
.					
.					
8					

.2 —

	1	2	3	4	5
.					
.					
.					
£.					

—

	1	2		4	S
,					
.					
.					
%					
.					
%					

.4 —

	1	2		4	5
Dr. — *! "					
.					
— "4					

8.1— .4

(1)

3.

: http://www.gosthelp.ru/text/Metod_icheskterekomendacli3l4.html

(2)

144:2001
road marking reflection characteristics)

{Road surface and

212—2017

628.94:006.354

91.160:93.080

, , ,

—2017/236

2609.2017. 10.10.2017. 60 84^.
t.66. .- . 1.68. 22 . 1921

« » . 123001
www.90Blinfo.ru mfo@gosbnfo.ru ., 4.